

APENDICES

APENDICE A

DESCRIPCIÓN DEL MODELO DE PREDICCIÓN DE SEDIMENTOS (SWAT).

SWAT (Soil and Water Assessment Tool) es un modelo desarrollado por Jeff Arnold para el Departamento de Agricultura de Estados Unidos (USDA). SWAT fue desarrollado con el objetivo de predecir el impacto prácticas de administración de la tierra sobre el agua, sedimentos y químicos provenientes de la agricultura en grandes cuencas con variedad de suelos y usos de la tierra para largos períodos de tiempo.

El modelo SWAT requiere información específica acerca del clima (precipitación diaria, temperatura máxima y mínima del aire, radiación solar, velocidad del viento y humedad relativa), propiedades del suelo, topografía, vegetación y prácticas de administración de la tierra ocurridas en la cuenca. Los procesos físicos asociados con el movimiento del agua, movimiento de sedimentos, crecimiento de cultivos y plantas son directamente modelados por SWAT.

Desde que el modelo SWAT fue creado este ha sufrido continuas revisiones y expansiones de sus capacidades, la versión más reciente es el SWAT 2000 el cual tiene entre otras novedades el mejoramiento de su generador climático, permite que la radiación solar, humedad relativa y velocidad del viento diarios sean introducidos al modelo o generados por él mismo.

SIMULACIÓN DE UNA CUENCA

Para el proceso de simulación SWAT divide la cuenca en subcuencas según la información que se introduce en el modelo correspondiente a clima, HRU (Unidades de respuesta hidrológica), reservorios de agua, agua subterránea y datos del canal principal. Las HRU (Unidades de Respuesta Hidrológica) son grandes áreas agrupadas dentro de la subcuenca que constan de la misma combinación de uso de la tierra, suelo y prácticas.

CICLO HIDROLÓGICO

El ciclo hidrológico simulado por SWAT está basado en la ecuación de balance del agua:

$$SW_t = SW_0 + \sum_{i=1}^T (R_{DIARIO} + Q_{surf} + E_a + w_{seep} + Q_{gw})$$

Donde SW_t es el contenido final de agua en el suelo (mm H₂O). SW_0 es el contenido inicial de agua en el suelo en el día i (mm H₂O), t es el tiempo (días), R_{diario} es la cantidad de precipitación en el día i (mm H₂O), Q_{surf} es la cantidad de superficie de runoff en el día i (mm H₂O), E_a es la cantidad de evapotranspiración en el día i (mm H₂O), w_{seep} es la cantidad de agua entrando en la zona vadosa desde el perfil del suelo en el día i (mm H₂O), y Q_{gw} es la cantidad de flujo de retorno en el día i (mm H₂O).

- Flujo Subsuperficial Lateral: Para su estimación se usa un modelo de almacenamiento kinemático en cada capa de suelo.
- Superficie de Runoff: SWAT simula el volumen de la superficie de runoff y los valores de sus picos para cada HRU. El volumen es calculado usando una modificación del Método del Número de Curva SCS (USDA Servicio de Conservación de Suelos, 1972) o el Método de infiltración Breen & Amat (Breen ana Amat, 1911). La predicción de los picos de la superficie de runoff se realizan por medio de una modificación del método racional en este método el pico de runoff es una función de la precipitación diaria que cae durante el tiempo de concentración de una subcuenca, el volumen de la superficie de runoff diaria, y el tiempo de concentración de la subcuenca. La proporción de la precipitación ocurrida durante el tiempo de concentración de la subcuenca es estimada como una función de la precipitación total diaria usando una técnica estocástica. El tiempo de concentración de la subcuenca se estima usando la fórmula de Manning.
- Canales Tributarios: Dos tipos de cauces redefinen dentro de cada subcuenca: el cauce principal y los cauces tributarios. Los canales tributarios son de un orden más bajo o menor, son cauces desviados del cauce principal dentro de la subcuenca. Cada canal tributario dentro de la subcuenca no recibe contribución de agua subterránea a su flujo. SWAT usa los atributos del canal tributario para determinar el tiempo de concentración para la subcuenca.
- Pérdidas por transmisión: SWAT usa el método de Lane (Servicio de Conservación de suelos USDA, 1983) para estimar las pérdidas por transmisión.
- Flujo Retorno: SWAT partitiona el agua subterránea en dos sistemas de acuíferos: acuíferos confinados y acuíferos inconfinados, los cuales contribuirán al volumen de la corriente superficial.

CRECIMIENTO DE LA VEGETACIÓN.

SWAT utiliza un modelo simple de crecimiento de las plantas. El modelo es capaz de diferenciar entre plantas perennes y anuales. El modelo de crecimiento de las plantas es usado para estimar la remoción de agua y nutrientes desde la zona de raíces, transpiración y producción de biomasa.

EROSIÓN

Los sedimentos son estimados para cada HRU con la Ecuación Universal de Pérdidas de Suelos Modificada (MUSLE).

SWAT permite al usuario definir prácticas de conservación en cada HRU. El usuario puede definir el inicio y el final de una estación de crecimiento, especificar cantidades de fertilizantes, aplicaciones de riego y pesticidas y coordinar operaciones de cultivo. En el final de una estación de crecimiento, la biomasa puede ser removida de la HRU o ser ubicada en la superficie como residuo.

APENDICE B

Tabla B1 Registros climáticos Estación El Vigia - Aeropuerto

PARAMETRO CLIMATICO	MESES DEL AÑO											
	ENE	FEB	MAR	ABR	MAY	JUN	JUL	AGO	SEPT	OCT	NOV	DIC
TEMP MEDIA	25,49	25,74	26,33	26,77	27,29	26,98	26,96	27,27	27,22	27,04	26,17	25,91
TEMP MAX	34,83	34,99	35,32	35,94	36,11	36,02	35,62	36,43	36,31	35,74	35,39	34,71
TEMP MIN	19,37	20,18	20,60	21,69	21,86	21,32	21,29	21,19	21,23	21,31	20,72	20,18
VELOCIDAD DEL VIENTO (m/s)	3,78	3,82	3,77	3,63	3,96	4,02	4,13	4,49	4,26	4,01	3,76	3,69
RADIACIÓN SOLAR (MJ/m ² ,día)	13,49	13,44	14,38	13,77	14,43	14,54	15,72	16,49	16,58	15,69	13,31	12,55
HUMEDAD RELATIVA	79	80	79	81	80	80	78	76	77	79	81	82

Tabla B2 Intensidades máximas para media hora

ESTACIÓN	INTENSIDAD MAXIMA PARA 30 MIN (mm)											
	ENE	FEB	MAR	ABR	MAY	JUN	JUL	AGO	SEP	OCT	NOV	DIC
El Vigia	18.20	23.80	17.65	27.65	25.05	29.30	24.35	18.40	29.40	30.65	21.65	20.25
La Palmita	42.25	46.69	34.83	47.43	51.88	42.99	21.49	45.21	40.76	48.92	54.85	37.80
Chiguara	26.68	26.68	30.39	41.51	30.39	28.16	14.08	45.21	37.06	51.14	58.55	25.20

Tabla B3 Registros de precipitación estación El vigia- Aeropuerto (periodo 1992-2002)

MES	PCP_MM	PCPSTD	PCPSKW	PR_W1	PR_W2	PCPD
ENERO	53,11	45.372	89.507	0,2097	0,5376	10,33
FEBRERO	107	115.568	45.593	0,1677	0,625	9,78
MARZO	88,67	68.739	38.166	0,2156	0,6518	12,44
ABRIL	109,22	104.288	52.671	0,2048	0,6442	11,56
MAYO	186,56	133.461	41.835	0,252	0,7697	16,89
JUNIO	124,33	82.623	48.548	0,3256	0,695	15,67
JULIO	101,44	88.190	86.081	0,2875	0,5798	13,22
AGOSTO	131,44	97.694	44.647	0,4234	0,5493	15,78
SEPTIEMBRE	136,89	95.131	38.489	0,3652	0,6839	17,22
OCTUBRE	78,33	57.955	51.548	0,2147	0,6724	12,89
NOVIEMBRE	119	84.234	35.523	0,2611	0,5929	12,56
DICIEMBRE	92,33	69.411	44.706	0,2312	0,5849	11,78

PCP_MM=Precipitación promedio del mes (mm)

PCPSTD =Desviación Estandar

PCPSKW =Coeficiente Skew

PR_W1 =Probabilidad de un día húmedo precedido por un día seco

PR_W2 =Probabilidad de un día húmedo precedido por un día húmedo

PCPD =Número promedio de días de precipitación en el mes

Tabla B4 Estadísticos de precipitación estación El Vigia (periodo 1967-1983)

MES	PCP_MM	PCPSTD	PCPSKW	PR_W1	PR_W2	PCPD
ENERO	130,65	10,3669	3,5519	0,3123	0,6116	14,24
FEBRERO	133,13	12,7575	4,3684	0,3185	0,5524	12,35
MARZO	158,21	12,0731	3,8893	0,3606	0,5853	15,18
ABRIL	263,35	16,8796	2,7583	0,3979	0,7335	18,76
MAYO	165,83	12,3355	3,4999	0,4502	0,6182	17,41
JUNIO	118,56	12,1098	5,766	0,4252	0,543	15,06
JULIO	89,25	7,3968	5,2565	0,4323	0,5211	15,35
AGOSTO	108,08	8,9259	4,1945	0,5165	0,5404	16,76
SEPTIEMBRE	106,77	8,253	4,1959	0,4896	0,5113	15,82
OCTUBRE	200,01	15,1824	3,806	0,4488	0,5458	16,06
NOVIEMBRE	223,11	13,4043	2,5649	0,5078	0,653	18,65
DICIEMBRE	190,12	13,3887	3,5563	0,36	0,6318	16,29

PCP_MM =Precipitación promedio del mes (mm)

PCPSTD =Desviación Estandar

PCPSKW =Coeficiente Skew

PR_W1 =Probabilidad de un día húmedo precedido por un día seco

PR_W2 =Probabilidad de un día húmedo precedido por un día húmedo

PCPD =Número promedio de días de precipitación en el mes

Tabla B5 Estadísticos de precipitación estación La Palmita (periodo 1967-1983)

MES	PCP_MM	PCPSTD	PCPSKW	PR_W1	PR_W2	PCPD
ENERO	106,82	7,294	4,9224	0,3961	0,5882	16
FEBRERO	119	9,1283	4,499	0,4222	0,5922	15
MARZO	119,57	9,6236	6,2985	0,4032	0,6129	16,41
ABRIL	135,28	9,0795	4,3797	0,4272	0,6566	17,47
MAYO	132,27	7,9439	3,684	0,4492	0,6082	17,12
JUNIO	120,8	8,4794	5,7985	0,4498	0,6478	17,71
JULIO	114,98	7,2672	5,2138	0,448	0,6405	18
AGOSTO	100,71	7,1218	5,4197	0,3828	0,5941	15,94
SEPTIEMBRE	95,32	7,365	6,0503	0,4327	0,5547	15,59
OCTUBRE	92,92	7,6316	6,2499	0,3466	0,58	14,71
NOVIEMBRE	114,5	6,8631	3,7288	0,4215	0,6307	16,88
DICIEMBRE	134,73	8,7498	3,9099	0,3992	0,5836	15,82

PCP_MM =Precipitación promedio del mes (mm)

PCPSTD=Desviación Estandar

PCPSKW=Coefficiente Skew

PR_W1 =Probabilidad de un día húmedo precedido por un día seco

PR_W2 =Probabilidad de un día húmedo precedido por un día húmedo

PCPD =Número promedio de días de precipitación en el mes

Tabla B6 Estadísticos de precipitación estación Chiguara (periodo 1967- 1983)

MES	PCP_MM	PCPSTD	PCPSKW	PR_W1	PR_W2	PCPD
ENERO	97,55	5,815	3,9852	0,4294	0,5618	16,18
FEBRERO	67	7,6627	11,9086	0,2944	0,5573	11,91
MARZO	73,45	4,7655	4,5674	0,3797	0,5065	14
ABRIL	74,88	4,9566	4,7422	0,2899	0,6646	14,64
MAYO	91,5	7,3664	10,0519	0,3642	0,648	16,27
JUNIO	93,85	7,4136	5,5244	0,378	0,5964	15,09
JULIO	119,9	7,0801	3,7184	0,4028	0,6701	17,91
AGOSTO	111,7	9,1876	5,2463	0,3976	0,6	15,91
SEPTIEMBRE	81,82	5,6119	4,7038	0,4417	0,5449	15,18
OCTUBRE	107,48	9,2778	7,1923	0,3765	0,6201	16,27
NOVIEMBRE	91,54	6,2356	5,9445	0,3812	0,6235	15,45
DICIEMBRE	88	4,9853	3,8879	0,4277	0,5824	16,55

PCP_MM= Precipitación promedio del mes (mm)

PCPSTD =Desviación Estandar

PCPSKW =Coeficiente Skew

PR_W1 =Probabilidad de un día húmedo precedido por un día seco

PR_W2 =Probabilidad de un día húmedo precedido por un día húmedo

PCPD =Número promedio de días de precipitación en el mes

Tabla B7 Propiedades hidráulicas Y físicas inferidas en las subunidades taxonómicas

PROPIEDAD	SUBUNIDADES TAXONOMICAS										d1
	a1	a2	a3	B	c1	c2					
Número de capas	1	2	2	3	2	4					2
Grupo Hidrológico	B	D	C	C	C	B					C
Profundidad Máxima de las Raíces (mm)	600	300	300	600	500	600					300
Textura	FAa	Fa,Fa	A	F,Fa,Fa	FAa	aF,FA					F
Número de capa	1	1	2	1	2	3	1	2	1	2	1
Profundidad desde la superficie (mm)	1700	250	540	150	350	300	600	1000	120	600	200
Densidad Húmeda (gr / cm ³)	1,6	1,6	1,6	1,4	1,4	1,6	1,6	1,6	1,6	1,6	1,6
Capacidad de agua disponible (mm / mm)	0,12	0,14	0,13	0,11	0,11	0,15	0,13	0,14	0,12	0,12	0,14
Conductividad hidráulica saturada (mm / hora)	3	21,8	2	0,6	0,6	13,2	2	21,8	3	3	59,8
Carbono orgánico (%)	0,05	5,5	1,23	3,77	0,05	0,05	0,05	0,05	0,05	0,05	0,15
% Arcilla	28	52	33,3	74	74	20	33,3	11	28	28	2
% Limo	11	32	33,3	13	13	40	33,3	26	11	11	18
% Arena	61	16	33,4	13	13	40	33,4	63	61	61	80
% Roca	60	20	40	0	0	3	0	0	20	0	0
Albedo Suelo húmedo (fracción)	0,2	0,01	0,15	0,2	0,2	0,2	0,08	0,2	0,2	0,1	0,05
Factor de Erodabilidad (t.m ² .h/m ³ .t.cm)	0,04	0,04	0,04	0,03	0,03	0,05	0,04	0,04	0,04	0,02	0,04

Tabla B8 Propiedades físicas de los suelos

CLASE DE TEXTURA	VOLUMEN (CM/CM)				
	Densidad aparente (gr/cm ³)	Porosidad total	Capacidad de campo 1/3 atm	Punto de marchitez 15 atm	Agua aprovechable
Arena gruesa	1.6	0.40	0.11	0.03	0.08
Arena	1.6	0.40	0.16	0.03	0.13
Arena fina	1.5	0.43	0.18	0.03	0.15
Arena muy fina	1.5	0.43	0.27	0.03	0.25
Arena gruesa francosa	1.6	0.40	0.16	0.05	0.11
Areno francosa	1.6	0.40	0.19	0.05	0.14
Areno fino francosa	1.6	0.40	0.22	0.05	0.18
Areno muy fino francosa	1.6	0.40	0.37	0.05	0.32
Franco arenosa gruesa	1.6	0.40	0.19	0.08	0.11
Franco arenosa	1.6	0.40	0.22	0.08	0.14
Franco arenosa fina	1.7	0.36	0.27	0.08	0.19
Franco arenosa muy fina	1.6	0.40	0.37	0.08	0.29
Franca	1.6	0.40	0.26	0.11	0.15
Franco limosa	1.5	0.43	0.32	0.12	0.20
Limo	1.4	0.47	0.27	0.03	0.24
Franco arcillo arenosa	1.6	0.40	0.30	0.18	0.12
Franco arcillosa	1.6	0.40	0.35	0.22	0.13
Franco arcillo limosa	1.4	0.47	0.36	0.20	0.16
Arcillo arenosa	1.6	0.40	0.28	0.20	0.13
Arcillo limosa	1.5	0.48	0.40	0.30	0.14
Arcilla	1.4	0.47	0.39	0.28	0.11

Tabla B9 Propiedades hidráulicas del suelo por clase de textura

CLASE DE TEXTURA		Porosidad total (ϕ) (cm ³ /cm ³)	Agua retenida a -33 kPa (cm ³ /cm ³)	Agua retenida a -1500 kPa (cm ³ /cm ³)	Conductividad hidráulica saturada (K _s) (cm/h)
Arenosa	a	0.437	0.091	0.033	23.56
Areno Francosa	aF	0.437	0.125	0.055	5.98
Franco Arenosa	Fa	0.453	0.207	0.095	2.18
Franca	F	0.463	0.270	0.117	1.32
Franco Limosa	FL	0.501	0.330	0.133	0.68
Franco Arcillo Arenosa	FAa	0.398	0.255	0.148	0.30
Franco Arcillosa	FA	0.464	0.318	0.197	0.20
Franco Arcillo Limosa	FAL	0.471	0.366	0.208	0.20
Arcillo Arenosa	Aa	0.430	0.339	0.239	0.12
Arcillo Limosa	AL	0.479	0.387	0.250	0.10
Arcillosa	A	0.475	0.396	0.272	0.06

Tabla B10 Valores estimados del factor K (modificado de Kirkby, 1980)

TEXTURA DEL SUELO	CONTENIDO MATERIA ORGANICA (%)				
	< 0.5	2.0	4.0	6.0	10.0
Arenoso (a)	0.007	0.004	0.003	0.002	0.001
Arenoso (a) Fino	0.021	0.018	0.013	0.009	0.004
Arenoso (a) muy fino	0.055	0.047	0.037	0.027	0.015
Areno-francoso (aF)	0.016	0.013	0.011	0.009	0.005
Areno-francoso (aF) fino	0.032	0.026	0.021	0.017	0.012
Areno-francoso (aF) muy fino	0.058	0.05	0.04	0.03	0.015
Franco – arenoso (Fa)	0.036	0.032	0.025	0.016	0.011
Franco-arenoso (Fa) fino	0.046	0.04	0.032	0.024	0.018
Franco-arenoso (Fa) muy fino	0.062	0.054	0.043	0.032	0.020
Franco (F)	0.030	0.045	0.038	0.030	0.021
Franco – limoso (FL)	0.063	0.055	0.043	0.031	0.019
Limoso (L)	0.079	0.068	0.055	0.05	0.045
Franco-arcillo-arenoso (FAa)	0.036	0.033	0.028	0.023	0.018
Franco-arcilloso (FA)	0.037	0.033	0.028	0.023	0.018
Franco-arcillo-limoso (FAL)	0.049	0.042	0.034	0.026	0.020
Arcillo-arenoso (Aa)	0.018	0.017	0.016	0.015	0.013
Arcillo-limoso (AL)	0.033	0.03	0.025	0.020	0.015
Arcilloso (A)	0.038	0.034	0.030	0.025	0.027

APENDICE C

Tabla C1 Comprobación de ajuste a una distribución normal para la concentración actual de sedimentos (Río Cacique)

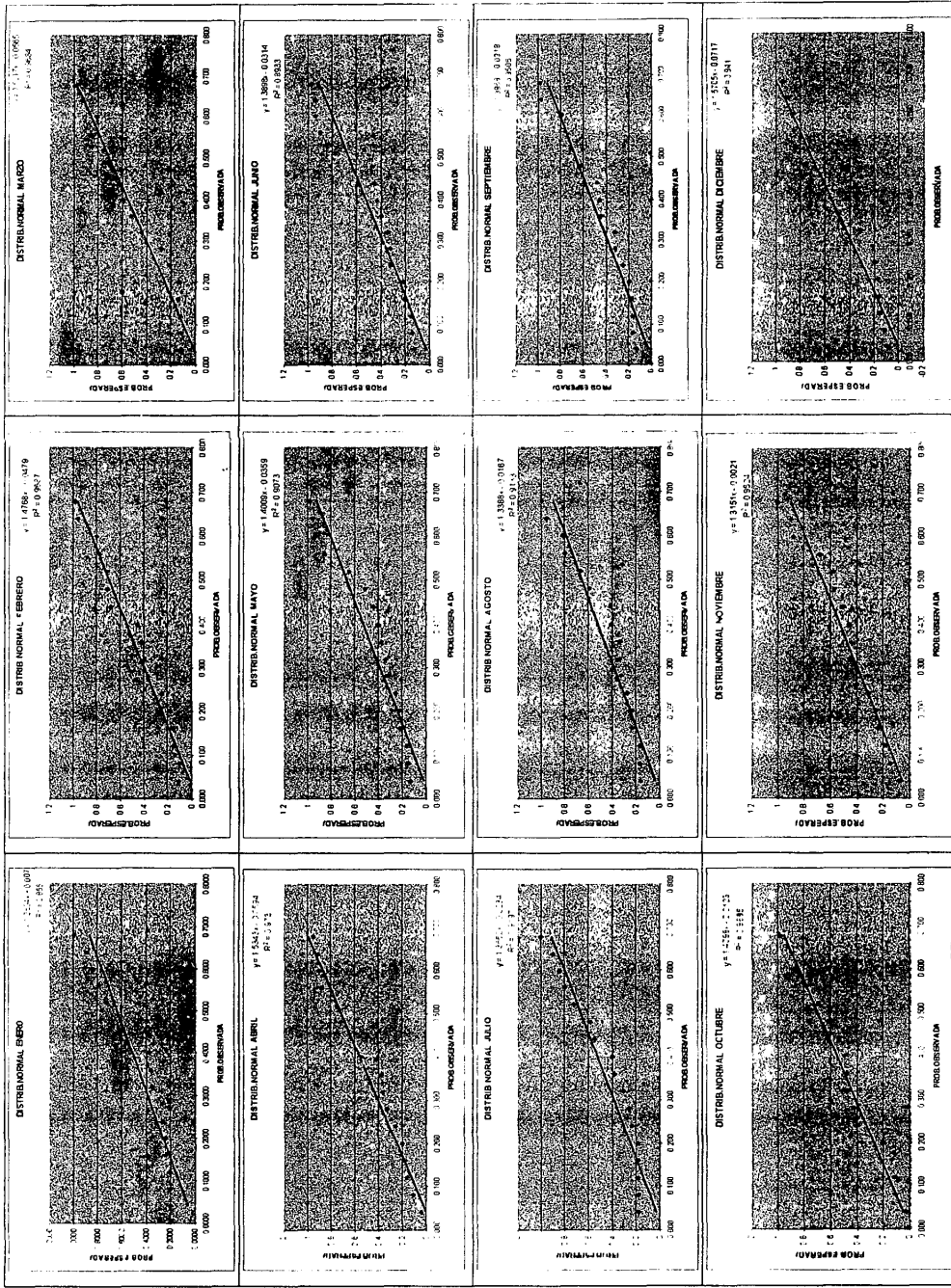


Tabla C2 Comprobación de ajuste a una distribución normal para la concentración actual de sedimentos (Río Caña Brava)

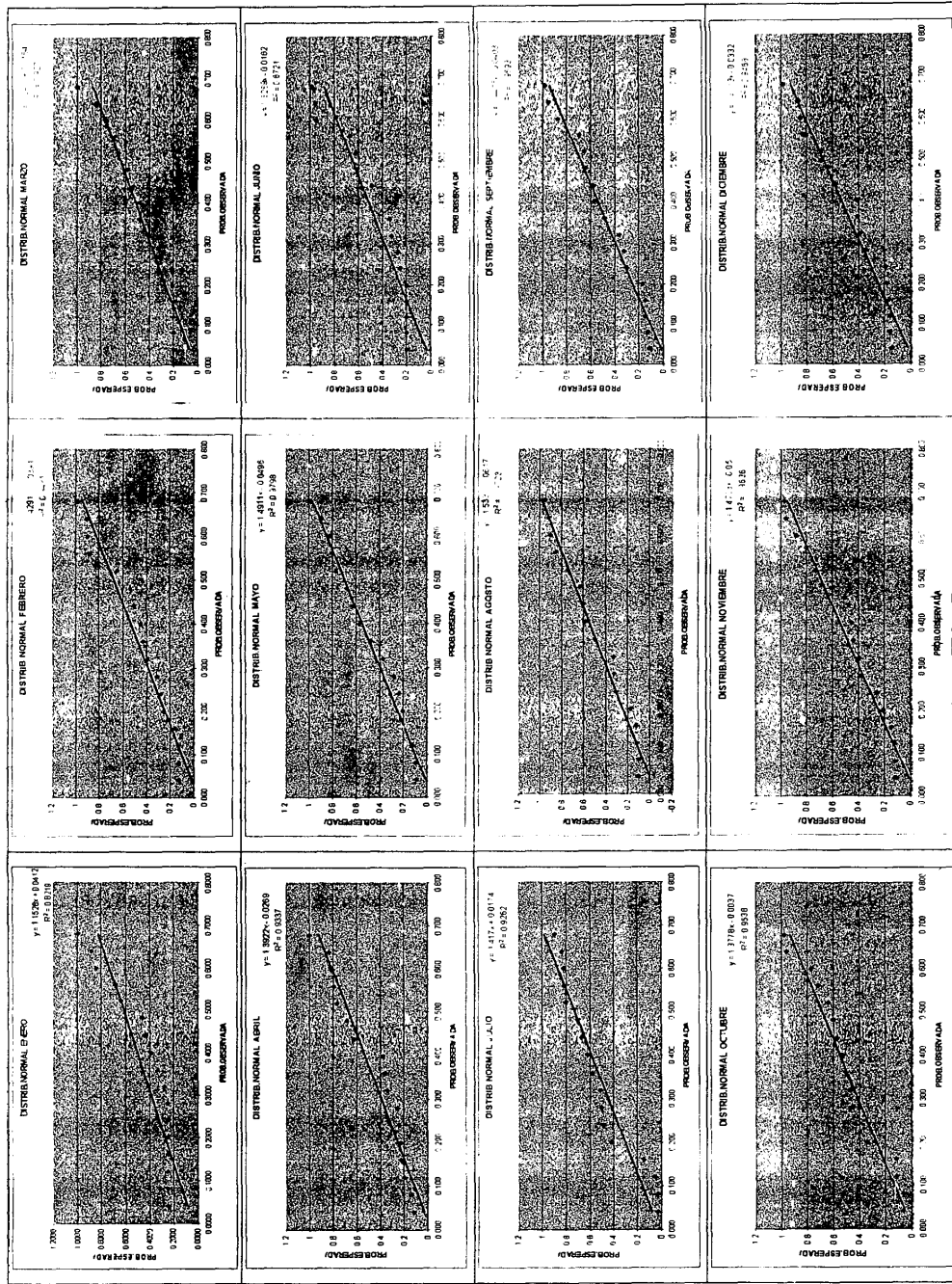


Tabla C3 Comprobación de ajuste a una distribución normal concentración de sedimentos en cambio (-) 1 (Río Cacique)

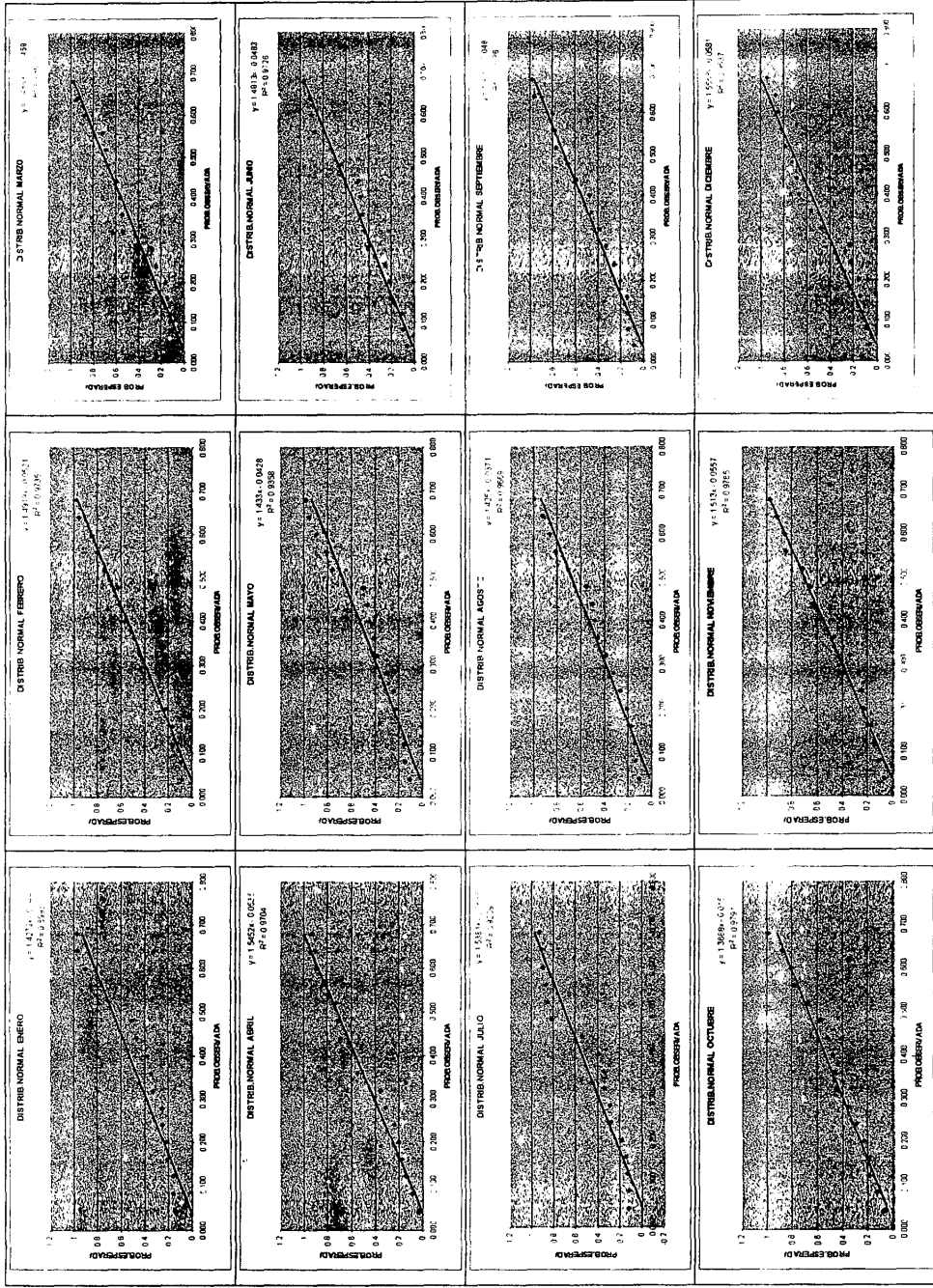


Tabla C4 Comprobación de ajuste a una distribución normal concentración de sedimentos en cambio (-) (Río Caña B.)

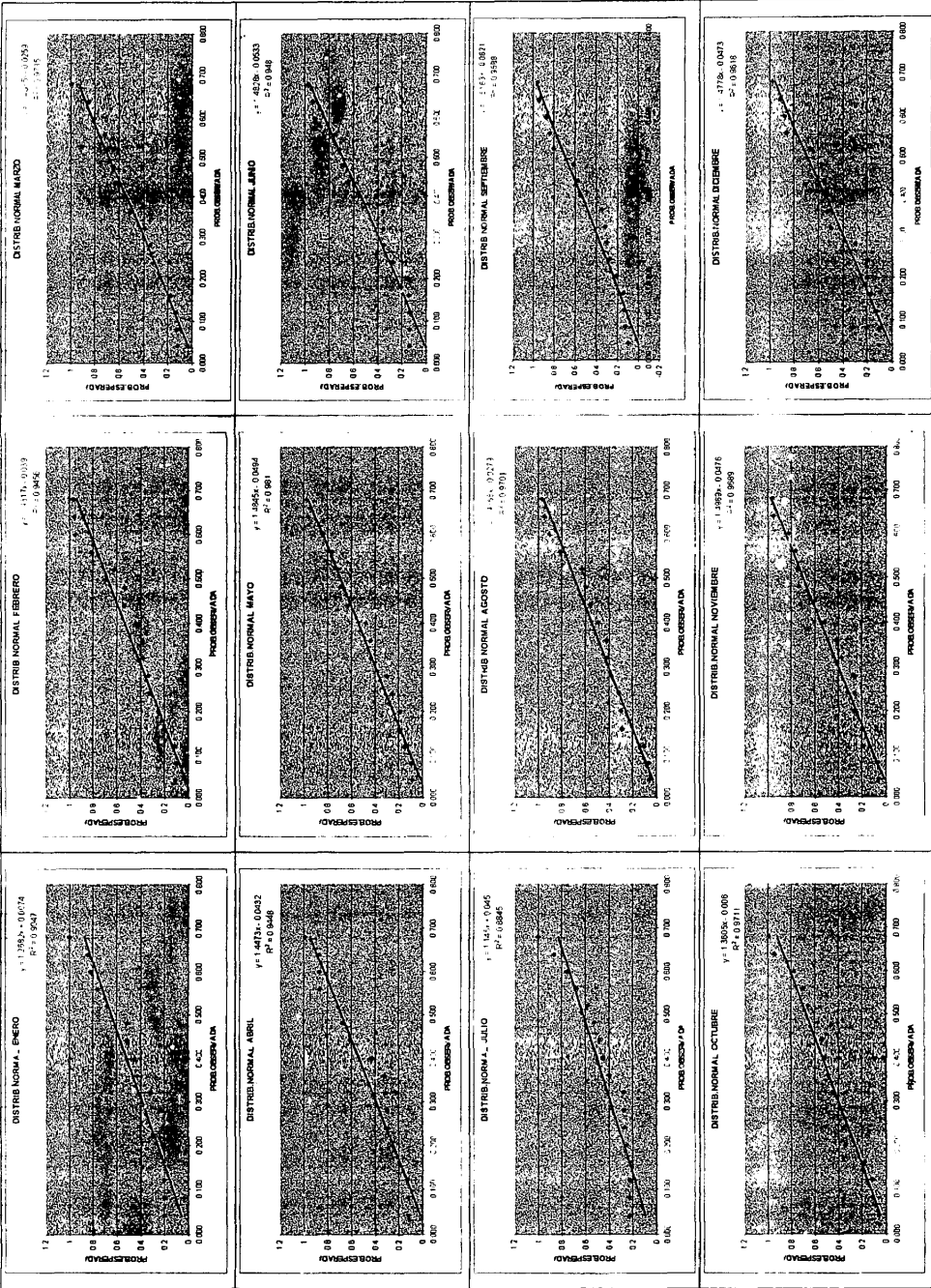


Tabla C5 Comprobación de ajuste a una distribución normal concentración de sedimentos en cambio (-) 2 (Río Cacique.)

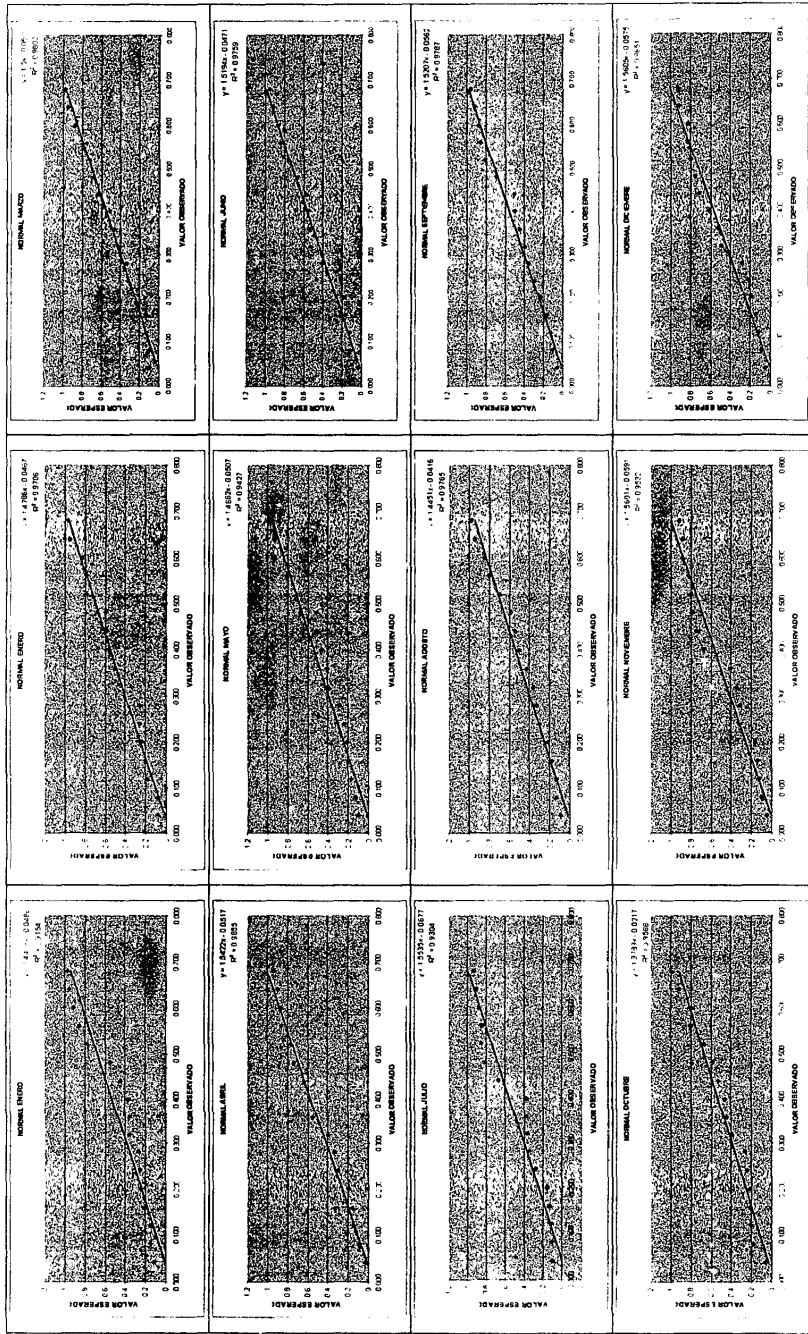


Tabla C6 Comprobación de ajuste a una distribución normal concentración de sedimentos en cambio (-) 2 (Río Caña B.)

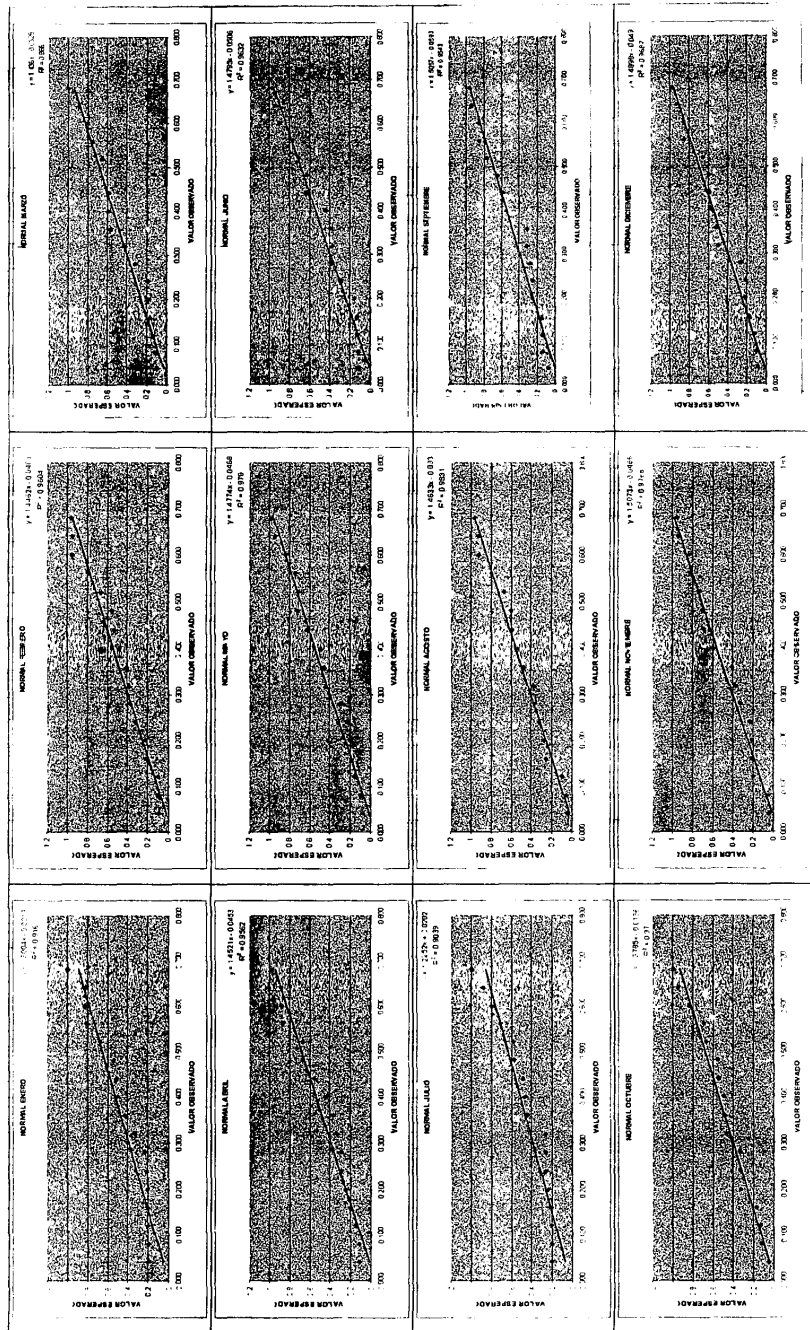


Tabla C7 Comprobación de ajuste a una distribución normal concentración de sedimentos en Práctica I (Río Cacique)

